

Ringkontraktionsreaktionen von Octamethylcyclotetrasilazanen zu silylsubstituierten Cyclotrisilazanen

Kerstin Dippel, Uwe Klingebiel*, Frank Pauer, George M. Sheldrick und Dietmar Stalke

Institut für Anorganische Chemie der Universität Göttingen,
Tammannstraße 4, D-3400 Göttingen

Eingegangen am 13. Oktober 1989

Key Words: Cyclotetrasilazanes / Ring contraction / Cyclotrisilazanes

Ring Contractions of Octamethylcyclotetrasilazanes to Silyl-Substituted Cyclotrisilazanes

Reaction of the mono- and dilithium derivatives of bis(fluorosilyl)-substituted cyclotetrasilazanes with fluorosilanes and fluoroboranes leads to ring contraction with formation of cy-

clotrisilazanes (**1–8**). The isomerisation is proved by the crystal structure determination of **1** and by NMR spectroscopy.

Aufgrund der leichten Spaltbarkeit der Si—N-Bindung führen Reaktionen des Octamethylcyclotetrasilazans und seiner Lithiumsalze mit den meisten Reaktionspartnern unter Spaltung des Si—N-Ringgerüstes zur Bildung von acyclischen Silazanen^{1–5}. Ein völlig anderes Reaktionsverhalten wird gegenüber Fluorsilanen und -boranen beobachtet. Mono- und dilithiierte Octamethylcyclotetrasilazane reagieren mit Fluorsilanen bzw. -boranen bei tiefen Reaktionstemperaturen unter Lithiumfluorid-Abspaltung und Erhalt des Si—N-Achtringgerüstes zu mono- und disubstituierten Cyclotetrasilazanen^{6,7}. Hohe Reaktionstemperaturen führen unter Ringkontraktion und Substitution zur Bildung isomerer Sechs- und Vierringssysteme⁷. Unbekannt war bislang die Ringgröße und Struktur von tri- und tetrasubstituierten Verbindungen des Octamethylcyclotetrasilazans.

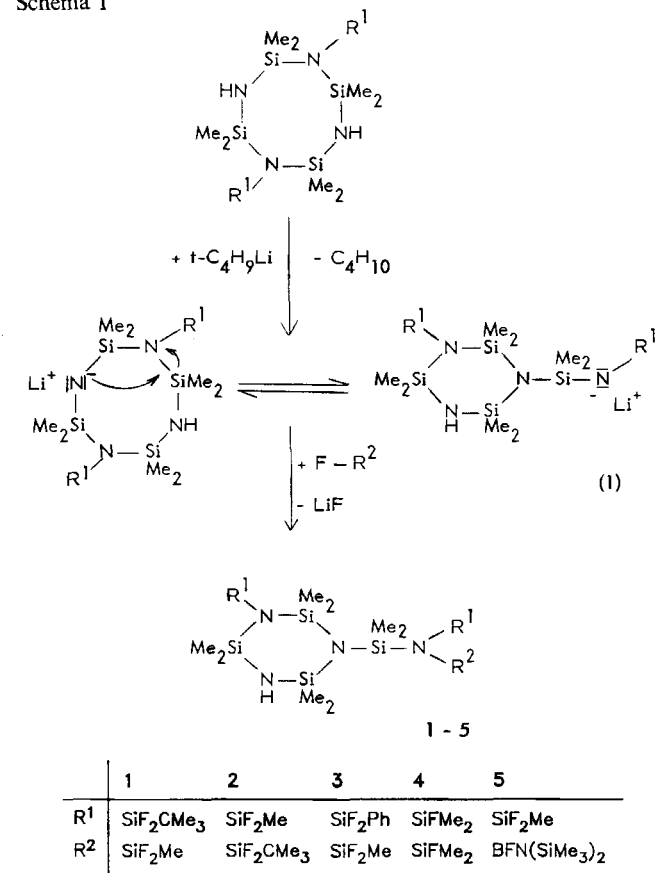
Bis(fluorosilyl)-substituierte Cyclotetrasilazane lassen sich bei –10°C mit *tert*-Butyllithium sowohl mono- als auch dilithieren. Die Umsetzung von monolithiierten disilylsubstituierten Cyclotetrasilazanen mit einem Fluorsilan bzw. Fluorboran bei –30°C führt zu den Kontraktionsprodukten **1–5**, deren Konstitution durch die Röntgenstrukturanalyse von **1** (Abb. 2) aufgeklärt wurde. Die Bildung eines trisubstituierten Cyclotetrasilazans wird nicht beobachtet.

Für die Bildung der Kontraktionsprodukte **1–5** (Gl. 1) wird folgender Umlagerungsmechanismus vorgeschlagen: Bei der Isomerisierung zum Sechsring öffnet sich eine dem Fluorosilylsubstituenten (= R¹) benachbarte Si—N-Bindung. Eine Erklärung hierfür ist in dem J-Effekt der Fluorosilylgruppe zu sehen, der zu einer Streckung und somit Schwächung der benachbarten endocyclischen Si—N-Bindung führt. Diese Tendenz zur Isomerisierung konnte durch Röntgenstrukturanalysen experimentell nachgewiesen werden⁷. Der Drittsubstituent greift an der Seitenkette des Sechsringanions an (Gl. 1).

Sechsgliedrige Ringe (**6–8**) entstehen ebenfalls in Reaktionen dilithierter silylsubstituierter Achtringe mit Fluorosilanen (Gl. 2).

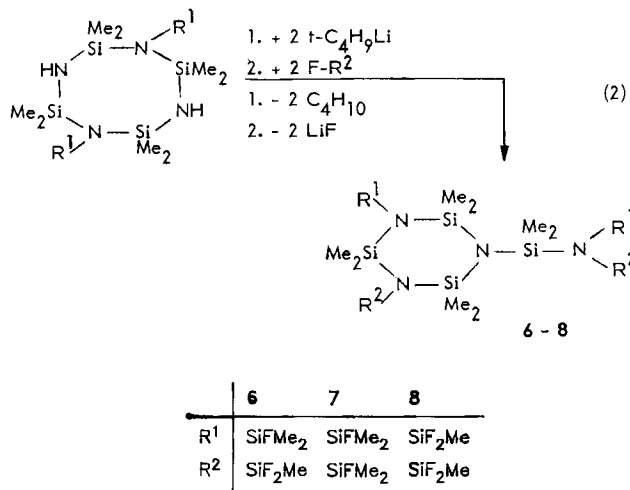
Die Verbindungen **3–8** sind unzersetzt destillierbare farblose Flüssigkeiten, **1** und **2** kristalline Festkörper.

Schema 1



Die Isomerisierung zu den Sechsringen wird NMR-spektroskopisch nachgewiesen. Exemplarisch wird das ¹³C-NMR-Spektrum von **7** vorgestellt (Abb. 1). Für die SiMe₂-Gruppen werden erwartungsgemäß drei chemische Verschiebungen im Verhältnis 1:2:1 = a:b:c gefunden. Die Gruppen a und c sind jeweils zu einem Triplet aufgespalten. Eine Zuordnung dieser Signale ist anhand eines Vergleichs mit den ¹³C-NMR-Daten des ebenfalls SiMe₂N(SiFMe₂)₂

Schema 2



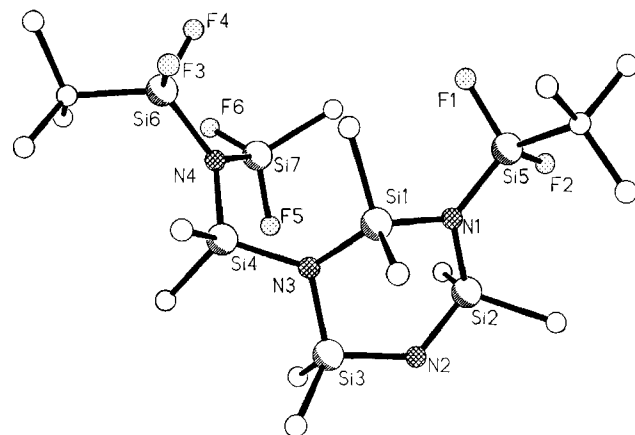
substituierten Cyclotrisilazans **4** möglich. Die SiMe₂-Gruppe (b) tritt als Dublett ($^4J_{CF} = 2.6$ Hz) von Triplets ($^6J_{CF} = 0.4$ Hz) auf. Die Resonanzen der Fluorsilylsubstituenten ergeben für die an das Ringsystem gebundenen Me₂FSi(I)-Gruppen ein Dublett, während die der an der Seitenkette gebundenen Me₂FSi(II)-Substituenten zu einem Dublett von Doublets ($^2J_{CF}$ / $^4J_{CF}$) aufgespalten sind.

Kristallstruktur von **1**

Das Cyclotrisilazan **1** kristallisiert in der monoklinen Raumgruppe *P2₁/c* (Abb. 2). Der Si—N-Sechsring liegt in einer verzerrten Wannenform vor. Die endocyclischen Si—N-Bindungslängen der silylsubstituierten Stickstoffatome N(1) und N(3) sind mit 176.3–177.5 (Tab. 1) signifikant

K. Dippel, U. Klingebiel, F. Pauer, G. M. Sheldrick, D. Stalke

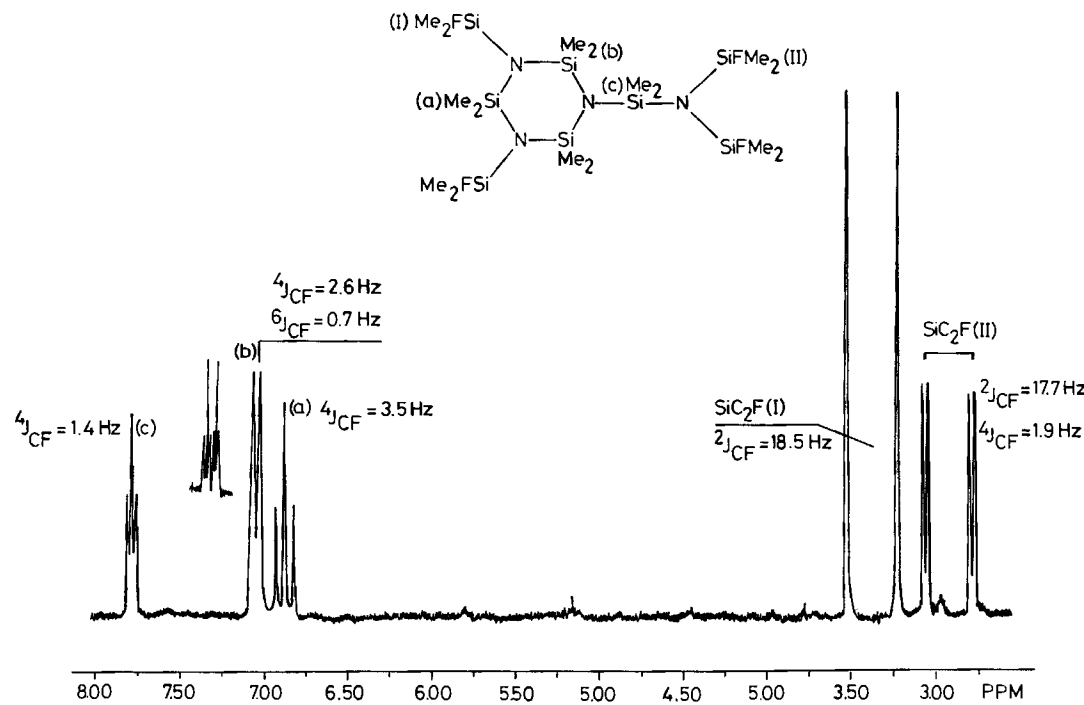
länger als die Si—N-Abstände des N(2)-Stickstoffatoms mit 171.4 bzw. 172.2 pm. Die Si—N-Abstände der fluorsubstituierten Siliciumatome sind aufgrund der elektronenziehenden Wirkung der Fluoratome verkürzt.

Abb. 2. Kristallstruktur von **1**

Experimenteller Teil

Die Versuche wurden unter Feuchtigkeitsausschluß durchgeführt. — Massenspektren: CH-5-Spektrometer, Varian. — NMR-Spektren: 30proz. Lösungen in CDCl₃; TMS, C₆F₆, intern; Bruker-WP-80- oder -AM-250-Kernresonanzgerät. — Die Reinheit von **1–8** wurde Massen- und NMR-spektroskopisch überprüft. Von **1** liegt zusätzlich eine Röntgenstrukturanalyse vor.

Verbindungen 1–8: 20 mmol des entsprechenden Bis(fluorsilyl)cyclotetrasilazans in 100 ml *n*-Hexan werden bei 0°C mit 20 mmol (**1–5**) bzw. 40 mmol (**6–8**) *tert*-Butyllithium (15proz. in *n*-Pentan) lithiiert. Zur vollständigen Butan-Abspaltung wird die Lösung auf

Abb. 1 ¹³C-NMR-Spektrum von **7**

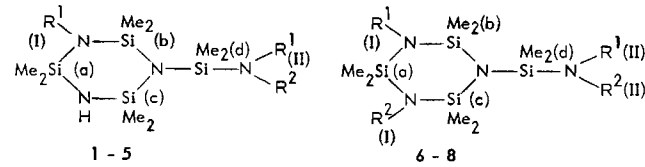
Ringkontraktionsreaktionen von Octamethylcyclotetrasilazanen zu Cyclotrisilazanen

Tab. 1. Ausgewählte Bindungsabstände (pm) und -winkel ($^{\circ}$) von 1

Si(1)-N(1)	176.6 (9)	Si(1)-N(3)	177.5 (7)
Si(2)-N(1)	176.6 (7)	Si(2)-N(2)	171.4 (10)
Si(3)-N(2)	172.2 (9)	Si(3)-N(3)	176.3 (7)
Si(4)-N(3)	173.6 (8)	Si(4)-N(4)	178.0 (10)
Si(5)-F(1)	158.9 (6)	Si(5)-F(2)	158.7 (7)
Si(5)-N(1)	169.4 (8)	Si(6)-F(3)	157.9 (6)
Si(6)-F(4)	157.3 (8)	Si(6)-N(4)	172.3 (8)
Si(7)-F(5)	158.1 (6)	Si(7)-F(6)	158.2 (6)
Si(7)-N(4)	170.6 (11)		
N(1)-Si(1)-N(3)	110.6 (4)	N(1)-Si(2)-N(2)	105.0 (4)
N(2)-Si(3)-N(3)	102.6 (4)	N(3)-Si(4)-N(4)	111.0 (5)
F(1)-Si(5)-F(2)	103.4 (4)	F(1)-Si(5)-N(1)	110.9 (4)
F(2)-Si(5)-N(1)	105.8 (4)	F(3)-Si(6)-F(4)	104.5 (4)
F(3)-Si(6)-N(4)	110.2 (4)	F(4)-Si(6)-N(4)	105.1 (5)
F(5)-Si(7)-F(6)	102.6 (3)	F(5)-Si(7)-N(4)	109.3 (4)
F(6)-Si(7)-N(4)	107.9 (4)	Si(1)-N(1)-Si(2)	114.5 (4)
Si(1)-N(1)-Si(5)	126.2 (4)	Si(2)-N(1)-Si(5)	119.3 (5)
Si(2)-N(2)-Si(3)	126.1 (5)	Si(1)-N(3)-Si(3)	114.6 (4)
Si(1)-N(3)-Si(4)	120.8 (4)	Si(3)-N(3)-Si(4)	119.9 (4)
Si(4)-N(4)-Si(6)	124.0 (6)	Si(4)-N(4)-Si(7)	119.0 (4)
Si(6)-N(4)-Si(7)	117.0 (5)		

20°C erwärmt und bei dieser Temperatur 0.5 h gerührt. Anschließend wird die Aufschämmung auf –30°C abgekühlt, und 20 mmol (1–5) bzw. 40 mmol (6–8) des jeweiligen Fluorsilans bzw. Fluorborans werden hinzugegeben. Die Umsetzung mit *tert*-Butyltrifluorsilan erfordert die Zugabe von 10 ml THF. Nach Abtrennung von Lithiumfluorid werden 1–8 durch Destillation im Hochvak. gereinigt. 1 und 2 kristallisieren nach der Destillation. Zur besseren Übersicht der ^1H -, ^{13}C -, ^{29}Si -NMR-Daten wurden für die Positionsangaben der SiMe₂-Gruppen bzw. der Silylsubstituenten der tri- (1–5) und tetrasubstituierten Verbindungen (6–8) die in Schema 3 aufgeführten Kennzeichnungen gewählt.

Schema 3



1-(*tert*-Butyldifluorsilyl)-3-{[(*tert*-butyldifluorsilyl)(difluormethylsilyl)amino]dimethylsilyl}-2,2,4,4,6,6-hexamethylcyclotrisilazan (1): Schmp. 94°C, Ausb. 9.6 g (78%). — MS: m/z (%) = 601 (100) [$\text{M} - \text{CH}_3$]⁺, FI-Messung: 616 (2) M^+ , 601 (100) [$\text{M} - \text{CH}_3$]⁺. — ^1H -NMR: δ = 0.25 SiMe₂ (a) ($^5J_{\text{HF}}$ = 1.3 Hz), 0.25 SiMe₂ (c) 0.44 SiMe₂ (d) (tt), 0.49 SiMe₂ (b) ($^5J_{\text{HF}}$ = 1.0 Hz), 0.53 SiMe₂ F ($^3J_{\text{HF}}$ = 5.4, $^5J_{\text{HF}}$ = 0.9 Hz), 0.75 NH, 1.03 CMe₃ (I) ($^4J_{\text{HF}}$ = 1.1 Hz), 1.06 CMe₃ (II). — ^{13}C -NMR: δ = –2.84 SiCF₂ ($^2J_{\text{CF}}$ = 22.8 Hz), 4.53 SiC₂ (a) ($^4J_{\text{CF}}$ = 2.2 Hz), 5.69 SiC₂ (b) ($^4J_{\text{CF}}$ = 1.1 Hz), 6.52 SiC₂ (c), 6.76 SiC₂ (d), 18.33 CC₃ (I) ($^2J_{\text{CF}}$ = 22.2 Hz), 18.66 CC₃ (II) ($^2J_{\text{CF}}$ = 20.3 Hz), 26.37 CC₃ ($^3J_{\text{CF}}$ = 1.0 Hz), 29.92 CC₃. — ^{19}F -NMR: δ = 31.46 SiF₂CMe₃ (I), 31.57 SiF₂CMe₃ (II)*, 44.84 SiF₂Me* (* AA'XX'-System). — ^{29}Si -NMR: δ = –35.94 SiF₂CMe₃ (I) ($^1J_{\text{SiF}}$ = 296.2 Hz), –35.52 SiF₂CMe₃ (II) ($^1J_{\text{SiF}}$ = 299.5 Hz), –30.65 SiF₂Me ($^1J_{\text{SiF}}$ = 275.6 Hz), –7.03 Si (a), –6.18 Si (d), –1.73 (c), –0.77 Si (b).

1-{[(*tert*-Butyldifluorsilyl)(difluormethylsilyl)amino]dimethylsilyl}-3-{[(difluormethylsilyl)-2,2,4,4,6,6-hexamethylcyclotrisilazan (2): Sdp. 105°C/0.01 mbar, Schmp. 40°C, Ausb. 10.12 g (88%). — MS: m/z (%) = 559 (40) [$\text{M} - \text{CH}_3$]⁺. — ^1H -NMR: δ = 0.22 SiMe₂ (a) ($^5J_{\text{HF}}$ = 1.1 Hz), 0.25 SiMe₂ (c), 0.34 SiMe₂ F ($^3J_{\text{HF}}$ = 5.1 Hz), 0.44 SiMe₂ (d) (tt), 0.45 SiMe₂ (b) ($^5J_{\text{HF}}$ = 0.7 Hz), 0.53 SiMe₂ (II)

($^3J_{\text{HF}}$ = 5.3, $^5J_{\text{HF}}$ = 0.7 Hz), 5.97 SiC₂ (a), 6.65 SiC₂ (d) (tt), 18.70 CC₃ ($^2J_{\text{CF}}$ = 20.3 Hz), 26.42 CC₃ ($^3J_{\text{CF}}$ = 0.9 Hz). — ^{19}F -NMR: δ = 30.38 SiF₂CMe₃* 40.86 SiF₂Me (I), 43.63 SiF₂Me (II)* (* AA'XX'-System). — ^{29}Si -NMR: δ = –35.37 SiF₂CMe₃ ($^1J_{\text{SiF}}$ = 299.7 Hz), –32.49 SiF₂Me (I) ($^1J_{\text{SiF}}$ = 270.7 Hz), –30.72 SiF₂Me (II) ($^1J_{\text{SiF}}$ = 274.9 Hz), –7.90 Si (a), –6.09 Si (d), –1.92 Si (c), –1.11 Si (b) ($^3J_{\text{SiF}}$ = 2.6 Hz).

1-{[(Difluormethylsilyl)(difluorphenylsilyl)amino]dimethylsilyl}-3-(difluorphenylsilyl)-2,2,4,4,6,6-hexamethylcyclotrisilazan (3): Sdp. 160°C/0.01 mbar, Ausb. 12.1 g (92%). — ^1H -NMR: δ = 0.21 SiMeF₂ ($^3J_{\text{HF}}$ = 5.2, $^5J_{\text{HF}}$ = 0.9 Hz), 0.24 SiMe₂ (c), 0.33 SiMe₂ (d), 0.35 SiMe₂ (a) ($^3J_{\text{HF}}$ = 1.1 Hz), 0.52 SiMe₂, 7.0–7.2, 7.6–7.8 Ph. — ^{13}C -NMR: δ = –3.32 SiCF₂ ($^2J_{\text{CF}}$ = 22.2, $^4J_{\text{CF}}$ = 1.6 Hz), 4.29 SiC₂ (a) ($^4J_{\text{CF}}$ = 2.0 Hz), 5.55 SiC₂ (c), 5.91 SiC₂ (d), 6.21 SiC₂ (b) ($^4J_{\text{CF}}$ = 1.2 Hz), 127.92 ($^2J_{\text{CF}}$ = 26.3 Hz), 128.22, 128.34, 130.38 ($^2J_{\text{CF}}$ = 26.2 Hz), 131.47, 132.12, 134.50 ($^3J_{\text{CF}}$ = 1.2 Hz), 134.55 Ph (I, II). — ^{19}F -NMR: δ = 34.13 SiF₂Ph (I), 34.82 SiF₂Ph (II)*, 42.21 SiF₂Me* (* AA'XX'-System). — ^{29}Si -NMR: δ = –48.28 SiF₂Ph (II) ($^1J_{\text{SiF}}$ = 268.4 Hz), –48.17 SiF₂Ph (I) ($^1J_{\text{SiF}}$ = 268.1 Hz), –31.52 SiF₂Me ($^1J_{\text{SiF}}$ = 274.1 Hz), –7.92 Si (a), –6.20 Si (d), –1.95 Si (c), –0.41 Si (b) ($^3J_{\text{SiF}}$ = 2.2 Hz).

1-{[Bis(fluordimethylsilyl)amino]dimethylsilyl}-3-(fluordimethylsilyl)-2,2,4,4,6,6-hexamethylcyclotrisilazan (4): Sdp. 105°C/0.01 mbar, Ausb. 7.8 g (75%). — MS: m/z (%) = 505 (20) [$\text{M} - \text{CH}_3$]⁺. — ^1H -NMR: δ = 0.21 SiMe₂ (a) ($^3J_{\text{HF}}$ = 1.8 Hz), 0.23 SiMe₂ (c), 0.26 SiMe₂F (I) ($^3J_{\text{HF}}$ = 7.6 Hz), 0.34 SiMe₂F (II) ($^3J_{\text{HF}}$ = 8.4 Hz), 0.35 SiMe₂ (d) ($^3J_{\text{HF}}$ = 0.6 Hz)* [* Triplet überlagert vom SiMe₂F (II)-Signal; $^5J_{\text{HF}}$ wurde durch Messung in C₆H₆ bestimmt.]. — ^{13}C -NMR: δ = 2.93 SiC₂F (II) ($^2J_{\text{CF}}$ = 17.7, $^4J_{\text{CF}}$ = 1.9 Hz), 3.05 SiC₂F ($^2J_{\text{CF}}$ = 18.4 Hz), 5.00 SiC₂ (a) ($^4J_{\text{CF}}$ = 3.3 Hz), 6.02 SiC₂ (c) ($^6J_{\text{CF}}$ = 0.8 Hz), 7.19 SiC₂ (b) ($^4J_{\text{CF}}$ = 1.3 Hz), 7.46 SiC₂ (d) ($^4J_{\text{CF}}$ = 1.4 Hz). — ^{19}F -NMR: δ = 28.79 SiF (I), 30.38 SiF (II). — ^{29}Si -NMR: δ = –10.74 SiMe₂ (a) ($^3J_{\text{SiF}}$ = 4.0 Hz), –10.28 SiMe₂ (d), –3.56 SiMe₂ (c), –3.19 SiMe₂ (b) ($^3J_{\text{SiF}}$ = 6.3 Hz), 7.52 SiF (I) ($^1J_{\text{SiF}}$ = 266.3 Hz), 9.43 SiF (II) ($^1J_{\text{SiF}}$ = 271.9, $^3J_{\text{SiF}}$ = 5.1 Hz).

1-{[(Bis(trimethylsilylamino)fluorboryl)(difluormethylsilyl)amino]dimethylsilyl}-3-(difluormethylsilyl)-2,2,4,4,6,6-hexamethylcyclotrisilazan (5): Sdp. 120°C/0.01 mbar, Ausb. 10.9 g (85%). — MS: m/z (%) = 626 (12) [$\text{M} - \text{CH}_3$]⁺. — ^1H -NMR: δ = 0.17 SiMe₃ ($^3J_{\text{HF}}$ = 0.3 Hz), 0.19 SiMe₂ (a) ($^3J_{\text{HF}}$ = 1.1 Hz), 0.22 SiMe₂ (c), 0.31 SiMeF₂ (I) ($^3J_{\text{HF}}$ = 5.1 Hz), 0.35 SiMe₂ (d) [dt, $^5J_{\text{HF}}$ = 2.6 (D), $^5J_{\text{HF}}$ = 0.8 Hz (T)], 0.39 SiMe₂ (b) ($^5J_{\text{HF}}$ = 0.7 Hz), 0.48 SiMeF₂ (II) ($^3J_{\text{HF}}$ = 5.3 Hz). — ^{11}B -NMR: 27.32. — ^{13}C -NMR: δ = –2.90 SiCF₂ (I) ($^2J_{\text{CF}}$ = 25.6 Hz), –2.82 SiCF₂ ($^2J_{\text{CF}}$ = 22.0, $^4J_{\text{CF}}$ = 1.0 Hz), 3.02 SiC₃ ($^4J_{\text{CF}}$ = 0.8 Hz), 3.90 SiC₂ (a) ($^4J_{\text{CF}}$ = 1.9 Hz), 5.62 SiC₂ (c), 6.02 SiC₂ (b), 6.16 SiC₂ (d) [dt, $^4J_{\text{CF}}$ = 4.3 Hz (D)]. — ^{19}F -NMR: δ = 40.86 SiF₂ (I), 42.80 SiF₂ (II) ($^4J_{\text{FF}}$ = 5.6 Hz), 104.50 BF. — ^{29}Si -NMR: δ = –32.63 SiF₂ (I) ($^1J_{\text{SiF}}$ = 270.4 Hz), –30.64 SiF₂ (II) ($^1J_{\text{SiF}}$ = 273.3, $^3J_{\text{SiF}}$ = 12.2 Hz), –9.22 Si (a), –5.56 Si (d) ($^3J_{\text{SiF}}$ = 3.3 Hz), –2.58 Si (c), –1.54 Si (b), 4.48 SiMe₃ ($^3J_{\text{SiF}}$ = 3.8 Hz).

1-(Difluormethylsilyl)-3-{[(difluormethylsilyl)(fluordimethylsilyl)amino]dimethylsilyl}-5-(fluordimethylsilyl)-2,2,4,4,6,6-hexamethylcyclotrisilazan (6): Sdp. 110°C/0.01 mbar, Ausb. 10.7 g (88%). — MS: m/z (%) = 589 (10) [$\text{M} - \text{CH}_3$]⁺. — ^1H -NMR (C_6D_6): δ = 0.24 SiMe₂F (I) ($^3J_{\text{HF}}$ = 7.6 Hz), 0.24 SiMeF₂ (II) ($^3J_{\text{HF}}$ = 5.3, $^5J_{\text{HF}}$ = 0.7 Hz), 0.25 SiMeF₂ (I) ($^3J_{\text{HF}}$ = 5.0 Hz), 0.27 SiMe₂F (II) ($^3J_{\text{HF}}$ = 7.1, $^5J_{\text{HF}}$ = 0.9 Hz), 0.39 SiMe₂ [dt, $^5J_{\text{HF}}$ = 1.1 Hz (D), $^5J_{\text{HF}}$ = 0.6 Hz (T)], 0.48 SiMe₂ (b) ($^5J_{\text{HF}}$ = 1.2 Hz), 0.50

SiMe_2 [dt, $^5J_{\text{HF}} = 1.6$ (D), $^5J_{\text{HF}} = 1.2$ Hz (T)], 0.52 SiMe_2 ($^5J_{\text{HF}} = 1.1$ Hz). — $^{13}\text{C-NMR}$: $\delta = -2.60$ SiCF_2 (II) ($^2J_{\text{CF}} = 22.4$, $^4J_{\text{CF}} = 1.5$ Hz), -2.52 SiCF_2 (I) ($^2J_{\text{CF}} = 25.2$ Hz), 1.93 SiC_2F (II) ($^2J_{\text{CF}} = 17.2$, $^4J_{\text{CF}} = 1.5$ Hz), 3.08 SiC_2F (I) ($^2J_{\text{CF}} = 18.3$ Hz), 5.86 SiC_2 [dt, $^4J_{\text{CF}} = 3.4$ (D), $^4J_{\text{CF}} = 2.2$ Hz (T)], 6.16 SiC_2 (c) ($^4J_{\text{CF}} = 1.6$, $^6J_{\text{CF}} = 0.7$ Hz), 6.71 SiC_2 (b) ($^4J_{\text{CF}} = 2.3$, $^6J_{\text{CF}} = 0.6$ Hz), 7.10 SiC_2 [dt, $^4J_{\text{CF}} = 1.8$ (D), $^4J_{\text{CF}} = 1.1$ Hz (T)]. — $^{19}\text{F-NMR}$: $\delta = 28.70$ SiF (II) ($^4J_{\text{FF}} = 2.3$ Hz), 30.75 SiF (I), 43.42 SiF_2 (II), 43.63 SiF_2 (I). — $^{29}\text{Si-NMR}$: $\delta = -32.17$ SiF_2 (I) ($^1J_{\text{SiF}} = 272.4$ Hz), -31.73 SiF_2 (II) ($^1J_{\text{SiF}} = 261.0$, $^3J_{\text{SiF}} = 5.2$ Hz), -7.78 Si (d), -4.88 Si (c), -3.77 Si (b), -1.58 Si (a), 9.43 SiF (I) ($^1J_{\text{SiF}} = 268.4$ Hz), 10.37 SiF (II) ($^1J_{\text{SiF}} = 275.1$ Hz).

1-*{[Bis(fluormethylsilyl)amino]dimethylsilyl}-3,5-bis(fluordimethylsilyl)-2,2,4,4,6,6-hexamethylcyclotrisilazan (7): Sdp. 118°C/0.01 mbar, Ausb. 10.2 g (85%). — MS: m/z (%) = 581 (40) [$M - \text{CH}_3$]⁺, FI-Messung/ m/z (%) = 596 (10) M^+ . — $^1\text{H-NMR}$: $\delta = 0.34$ SiMe_2F (II) ($^2J_{\text{HF}} = 7.7$ Hz), 0.38 SiMe_2F (II) ($^2J_{\text{HF}} = 7.3$, $^5J_{\text{HF}} = 1.1$ Hz), 0.39 SiMe_2 (a) ($^5J_{\text{HF}} = 1.7$ Hz), 0.41 SiMe_2 (d) ($^5J_{\text{HF}} = 0.8$ Hz), 0.45 SiMe_2 (b/c) ($^2J_{\text{HF}} = 1.2$ Hz). — $^{13}\text{C-NMR}$: $\delta = 2.92$ SiC_2F ($^2J_{\text{CF}} = 17.7$, $^4J_{\text{CF}} = 1.9$ Hz), 3.38 SiC_2F (I) ($^2J_{\text{CF}} = 18.5$ Hz), 6.82 SiC_2 (a) ($^4J_{\text{CF}} = 3.5$ Hz), 7.04 SiC_2 (b/c) ($^4J_{\text{CF}} = 2.6$, $^6J_{\text{CF}} = 0.7$ Hz), 7.79 SiC_2 (d) ($^4J_{\text{CF}} = 1.4$ Hz). — $^{19}\text{F-NMR}$: $\delta = 29.90$ SiF (I) ($^4J_{\text{FF}} = 1.0$ Hz), 30.74 SiF (I). — $^{29}\text{Si-NMR}$: $\delta = -9.96$ Si (d) ($^3J_{\text{SiF}} = 3.5$ Hz), -5.74 Si (b/c) ($^3J_{\text{SiF}} = 4.0$ Hz), -2.87 Si (a) ($^3J_{\text{SiF}} = 4.8$ Hz), 8.74 SiF (I) ($^1J_{\text{SiF}} = 268.2$ Hz), 9.46 SiF (II) ($^1J_{\text{SiF}} = 271.6$ Hz).*

Tab. 2. Atomkoordinaten ($\times 10^4$) und äquivalente isotrope thermische Parameter ($\text{pm}^2 \times 10^{-1}$) für **1**

	x	y	z	U(eq)
Si(1)	3770(4)	3530(1)	426(2)	31(1)
Si(2)	1835(4)	2455(1)	362(2)	34(1)
Si(3)	5062(4)	2373(1)	1179(2)	38(1)
Si(4)	6068(4)	3557(1)	2056(2)	36(1)
Si(5)	437(4)	3658(1)	-93(2)	33(1)
Si(6)	5712(4)	4755(1)	3006(2)	38(1)
Si(7)	3728(4)	3742(1)	3092(2)	40(1)
F(1)	373(8)	4217(3)	529(3)	48(2)
F(2)	-865(7)	3239(3)	70(3)	44(2)
F(3)	6019(8)	5128(2)	2214(3)	45(2)
F(4)	4331(8)	5065(3)	3251(4)	58(3)
F(5)	3850(8)	3026(2)	3135(4)	56(3)
F(6)	3924(8)	3925(3)	4065(3)	59(3)
N(1)	1972(9)	3247(3)	223(4)	22(3)
N(2)	3570(11)	2186(3)	417(5)	36(3)
N(3)	4821(9)	3157(3)	1319(4)	25(3)
N(4)	5167(11)	4029(3)	2701(5)	37(3)
C(1)	3681(14)	4359(4)	619(6)	39(4)
C(2)	4577(13)	3430(5)	-520(6)	42(4)
C(3)	1178(14)	2307(5)	1355(7)	51(5)
C(4)	633(15)	2075(5)	-544(7)	54(5)
C(5)	6699(14)	2193(5)	730(7)	57(5)
C(6)	5100(16)	1903(5)	2146(7)	54(5)
C(7)	7251(14)	3049(5)	2805(7)	53(5)
C(8)	7320(14)	4006(5)	1534(7)	54(5)
C(9)	-100(13)	3949(4)	-1220(6)	36(4)
C(10)	-1653(14)	4199(6)	-1311(8)	58(5)
C(11)	-66(17)	3442(5)	-1838(6)	62(6)
C(12)	900(16)	4467(5)	-1377(7)	60(6)
C(13)	7287(14)	4875(4)	3897(6)	38(4)
C(14)	8710(15)	4683(6)	3680(8)	63(6)
C(15)	7371(19)	5557(5)	4105(8)	86(7)
C(16)	7042(17)	4520(6)	4686(7)	77(6)
C(17)	1900(15)	3945(6)	2557(8)	63(5)

K. Dippel, U. Klingebiel, F. Pauer, G. M. Sheldrick, D. Stalke

1-*{[Bis(difluormethylsilyl)amino]dimethylsilyl}-3,5-bis(difluormethylsilyl)-2,2,4,4,6,6-hexamethylcyclotrisilazan (8): Sdp. 120°C/0.01 mbar, Ausb. 9.1 g (74%). — MS: m/z (%) = 597 (10) [$M - \text{CH}_3$]⁺, FI-Messung: 612 (2) M^+ . — $^1\text{H-NMR}$: $\delta = 0.21$ SiMe_2F (I) ($^2J_{\text{HF}} = 5.0$ Hz), 0.24 SiMeF_2 (II) ($^2J_{\text{HF}} = 5.6$, $^5J_{\text{HF}} = 0.7$ Hz), 0.35 SiMe_2 ($^3J_{\text{HF}} = 0.7$ Hz), 0.45 SiMe_2 (b/c) ($^5J_{\text{HF}} = 1.0$ Hz), 0.46 SiMe_2 ($^5J_{\text{HF}} = 1.1$ Hz). — $^{13}\text{C-NMR}$: $\delta = -3.37$ SiCF_2 (II) ($^2J_{\text{CF}} = 22.8$, $^4J_{\text{CF}} = 1.5$ Hz), -2.58 SiCF_2 (I) ($^2J_{\text{CF}} = 23.4$ Hz), 5.31 SiC_2 ($^4J_{\text{CF}} = 2.2$ Hz), 6.16 SiC_2 (b/c) ($^4J_{\text{CF}} = 1.9$ Hz), 6.71 SiC_2 ($^4J_{\text{CF}} = 1.2$ Hz). — $^{19}\text{F-NMR}$: $\delta = 42.40$ SiF_2 (II), 43.99 SiF_2 (I). — $^{29}\text{Si-NMR}$: $\delta = 31.71$ SiF_2 (I) ($^1J_{\text{SiF}} = 272.8$ Hz), -31.27 SiF_2 (II) ($^1J_{\text{SiF}} = 273.9$ Hz), -5.92 Si (c), -2.86 Si (b), 0.23 Si (a).*

Kristallstrukturanalyse von **1:** Die Intensitätsmessungen wurden auf einem Siemens-AED-Vierkreisdiffraktometer bei graphitmonochromatisierter Mo-K α -Strahlung ($\lambda = 71.069$ pm) durchgeführt. Die Messung erfolgte bei -85°C . Die Struktur wurde durch Direkte Methoden gelöst und nach dem Kleinste-Quadrat-Versfahren verfeinert. Wasserstoffatome wurden geometrisch ideal positioniert und mit festen thermischen Parametern nach dem Reitermodell verfeinert. — **Kristallographische Daten:** Kristallgröße $0.4 \times 0.2 \times 0.2$ mm³, Raumgruppe $P2_1/c$, $a = 934.9(4)$, $b = 2203.9(6)$, $c = 1595.7(5)$ pm, $\beta = 100.62(8)^\circ$, $V = 3.231$ nm³, $Z = 4$, $D_{\text{ber}} = 1.269$ Mg/m³, $\mu = 0.34$ nm⁻¹, Anzahl der gemessenen Reflexe ($2\Theta_{\text{max}} = 45^\circ$) 4266, unabhängige 4125, beobachtete [$F > 4\sigma(F)$] 2362, $R = 0.086$, $R_w = 0.080$ [$w^{-1} = \sigma^2(F) + 0.0008 \cdot F^2$], verfeinerte Parameter 307, letzte Differenz-Fourier-Synthese: größtes Maximum 5.8×10^2 , größtes Minimum 5.5×10^2 e nm⁻³.

CAS-Registry-Nummern

- 1: 124856-43-5 / 2: 124856-44-6 / 3: 124890-60-4 / 4: 124856-45-7 / 5: 124890-61-5 / 6: 124856-46-8 / 7: 124856-47-9 / 8: 124856-48-0 / SiF₃Me: 373-74-0 / SiF₃CMe₃: 60556-38-9 / SiF₂Me₂: 353-66-2 / BF₂N(SiMe₃)₂: 2251-46-9 / 1,5-Bis(*tert*-Butyldifluorsilyl)octamethylcyclotetrasilazan: 124856-49-1 / 1,5-Bis(difluormethylsilyl)octamethylcyclotetrasilazan: 124856-50-4 / 1,5-Bis(difluorophenylsilyl)octamethylcyclotetrasilazan: 115421-12-0 / 1,5-Bis(fluordimethylsilyl)octamethylcyclotetrasilazan: 124856-51-5

- ¹ U. Wannagat, E. Bogusch, P. Geymayer, *Monatsh. Chemie* **95** (1964) 801.
- ² W. Fink, *Angew. Chem.* **78** (1966) 803; *Angew. Chem. Int. Ed. Engl.* **5** (1966) 760.
- ³ P. Geymayer, E. G. Rochow, *Angew. Chem.* **77** (1965) 818; *Angew. Chem. Int. Ed. Engl.* **4** (1965) 592.
- ⁴ U. Wannagat, E. Bogusch, *Monatsh. Chem.* **102** (1971) 1806.
- ⁵ O. J. Scherer, *Organomet. Chem. Rev. Sect. A*, **3** (1968) 281.
- ⁶ K. Dippel, U. Klingebiel, M. Noltemeyer, F. Pauer, G. M. Sheldrick, *Angew. Chem.* **100**, (1988) 1093; *Angew. Chem. Int. Ed. Engl.* **27** (1988) 1074.
- ⁷ K. Dippel, *Dissertation*, Univ. Göttingen, 1989.
- ⁸ Weitere Informationen zur Kristallstrukturanalyse können beim Fachinformationszentrum Karlsruhe, Gesellschaft für wissenschaftlich-technische Information mbH, D-7514 Eggenstein-Leopoldshafen 2, unter Angabe der Hinterlegungsnummer CSD-320025, der Autoren und des Zeitschriftenzitats angefordert werden.

[335/89]